



Laboratorium EMVO Sp. J. Urbański, Pawelak
ul. Jasna 1
00-013 Warszawa

tel. +48 22 780 29 64

e-mail: laboratorium@emvo.pl



AB 1630

Sprawozdanie z pomiarów pól elektromagnetycznych - środowisko ogólne nr 7/12/OŚ/2021- ATE/WA



Nr i nazwa stacji	BT12712_LUBLIN PAPROCIOWA	
Adres	Lublin, ul. Paprociowa 9, dz. nr 15/2 obr. Zygmuntów, gm. Lublin, pow. Lublin, woj. lubelskie	
Opracowanie		Specjalista ds. pomiarów
Autoryzacja		Kierownik Laboratorium
Podpis	Podpis jest prawidłowy Dokument podpisany przez Data: 2022.01.05 08:14:19 Powód: Zatwierdzam dokument	
Data	2022-01-03	

Spis treści

1. Informacje ogólne.....	3
2. Podstawa prawna.....	3
3. Opis pomiarów.....	4
4. Zróżnicowanie dopuszczalne poziomy pól elektromagnetycznych.....	5
5. Charakterystyka źródeł PEM.....	5
6. Wyniki pomiarów.....	5
7. Stwierdzenie zgodności	7
8. Oświadczenie.....	7
9. Spis załączników.....	7

1. Informacje ogólne.

Zleceniodawca	ATEM – Polska Sp. z o.o., 20-315 Lublin, ul. Witosa 3 Osoba udzielająca informacji -
Istotne informacje dostarczone przez klienta	komplet informacji niezbędnych do wykonania pomiarów i opracowania sprawozdania
Dane otrzymane od klienta mogące mieć wpływ na ważność wyników	Dane anten sektorowych, dane anten radioliniowych, parametry pracy instalacji, poprawka pomiarowa, ustawienie pochylenia anten
Prowadzący instalację	TOWERLINK POLAND SP. z.o.o., ul. Konstruktorska 4, 02-673 Warszawa
Lokalizacja obiektu	Lublin, ul. Paprociowa 9, dz. nr 15/2 obr. Zygmuntów, gm. Lublin, pow. Lublin, woj. lubelskie
Miejsce instalacji anten	Wieża kratowa
Miejsce instalacji urządzeń	Outdoor
Osoby wykonujące pomiar	-
Data wykonania pomiaru	03.01.2022
Temperatura na początku pomiaru [°C]	7
Temperatura na koniec pomiaru [°C]	7
Warunki atmosferyczne	Brak opadów
Wilgotność na początku pomiaru [%]	74,8
Wilgotność na koniec pomiaru [%]	74,8
Godzina na początku pomiaru	11:45
Godzina na koniec pomiaru	13:00
Inne źródła pól elektromagnetycznych oznaczone na załączniku graficznym	Występują
Parametry pracy instalacji	Rzeczywisty

2. Podstawa prawna.

2.1 Normy i rozporządzenia:

- Rozporządzeniem Ministra Klimatu z dnia 17 lutego 2020 r. w sprawie sposobów sprawdzania dotrzymania dopuszczalnych poziomów pól elektromagnetycznych w środowisku (Dz.U. 2020 poz. 258)
- Rozporządzenie Ministra Zdrowia z dnia 17 grudnia 2019 r. w sprawie dopuszczalnych poziomów pól elektromagnetycznych w środowisku (Dz.U. 2019 poz. 2448)
- Obwieszczenie Marszałka Sejmu Rzeczypospolitej Polskiej z dnia 19 lipca 2019 r. w sprawie ogłoszenia jednolitego tekstu ustawy - Prawo ochrony środowiska (Dz.U. 2019 poz. 1396).

3. Opis pomiarów

Metodologia pomiarowa	Pomiary w oparciu o Rozporządzeniem Ministra Klimatu z dnia 17 lutego 2020 r. w sprawie sposobów sprawdzania dotrzymania dopuszczalnych poziomów pól elektromagnetycznych w środowisku (Dz.U. 2020 poz. 258).
Cel badań	Określenie wartości natężenia pola elektrycznego w miejscach dostępnych dla ludności.
Opis zestawu pomiarowego	Miernik Narda NBM 520, Sonda EF 9091, o zakresie pomiarowym 0,7 V/m - 400V/m pracująca w paśmie 0,1 – 90 GHz, świadectwo wydane przez Laboratorium Wzorców i Metrologii Pola Elektromagnetycznego, Instytut Telekomunikacji, Teleinformatyki i Akustyki Politechniki Wrocławskiej. Świadectwo ważne do 13.07.2023r. Miernik Narda NBM 520, Sonda EF 9091 pracująca w zakresie temperatury -10°C - +50°C oraz wilgotności 5% - 95%. Niepewność rozszerzona 59,6% przy poziomie ufności 95% z uwzględnieniem współczynnika rozszerzenia k=2.
Wyposażenie pomocnicze	Termohigrometr Termoprodukt, typ: Termik+, nr identyfikacyjny 700618, świadectwo wzorcowania nr 1763/AH/19 z dn. 29.07.2019 r. wydane przez Laboratorium Pomiarowe "MUTECH". Przymiar wstępowy STABILA, nr identyfikacyjny 31WL, świadectwo wzorcowania nr 6W1/1826/19 z dn. 02.08.2019 r. wydane przez Dyrektora Okręgowego Urzędu Miar w Gdańsku. GPS Garmin 64s okresowo sprawdzany w punktach osnowy geodezyjnej klasy 3 na podstawie licencji punktu, zgodnie z procedurą sprawdzeń okresowych IS/PO16-11/03.
Pomiary zostały wykonane	<ol style="list-style-type: none">1. na głównych i pomocniczych kierunkach pomiarowych, na kierunkach zbliżonych do azymutów anten oraz w dodatkowych pionach pomiarowych zgodnie z wymaganiami pkt 12, 13, 14 i 19 załącznika do rozporządzenia Ministra Klimatu z dnia 17 lutego 2020 r. (Dz. U. 2020, poz. 258),2. na obszarze pomiarowym, dla którego, na podstawie uprzednio wykonanych obliczeń uzyskanych od zleceniodawcy, stwierdzono możliwość występowania pól elektromagnetycznych o poziomach zbliżonych do poziomów dopuszczalnych zgodnie z wymaganiami pkt 5 ppkt 2 oraz pkt 13 ppkt 1 załącznika do rozporządzenia Ministra Klimatu z dnia 17 lutego 2020 r. (Dz. U. 2020, poz. 258). Wyniki obliczeń nie uwzględniały parametrów pracy instalacji innych operatorów występujących na obiekcie bądź w obszarze pomiarowym.3. w miejscach dostępnych dla ludności.4. miejsca niedostępne podczas wykonywania pomiarów wskazane zostały w pkt 6 (tabeli wyniki pomiarów)5. wyniki pomiarów uzyskane zostały przy uwzględnieniu poprawek pomiarowych przekazanych przez zleceniodawcę oraz przy rzeczywistych warunkach pracy instalacji innych operatorów (w przypadku występowania). W takiej sytuacji uwzględniono jednolitą poprawkę pomiarową wynoszącą 2,0.
Szczególne warunki podczas wykonywania pomiarów	Pomiary wykonane zostały podczas obowiązywania w kraju stanu epidemii, zgodnie z art. 122a ust. 1b Ustawy z dnia 27 kwietnia 2001 r. – Prawo ochrony środowiska (Dz. U. z 2019 r. poz. 1396, z późn. zm.9))
Warunki pracy urzędzeń nadawczych	Podczas pomiarów zostały uwzględnione poprawki pomiarowe przekazane przez zleceniodawcę, umożliwiające uwzględnienie maksymalnych parametrów pracy

instalacji zgodnie z pkt 7 załącznika do Rozporządzeniem Ministra Klimatu z dnia 17 lutego 2020 r. w sprawie sposobów sprawdzania dotrzymania dopuszczalnych poziomów pól elektromagnetycznych w środowisku (Dz. U. 2020, poz. 258).

4. Zróżnicowanie dopuszczalne poziomy pól elektromagnetycznych.

Zakresy znajdują się w Dzienniku Ustaw z dnia 17 grudnia 2019 r. przestawione są w tabeli nr 2 (Dz. U. z 2019r. poz. 2448).

Parametr fizyczny	Składowa elektryczna E (V/m)	Składowa magnetyczna H (A/m)	Gęstość mocy S (W/m ²)
Zakres Częstotliwości pola elektromagnetycznego			
od 400 MHz do 2000 MHz	$1,375 \times f^{0,5}$	$0,0037 \times f^{0,5}$	$f / 200$
od 2 GHz do 300 GHz	61	0,16	10

5. Charakterystyka źródeł PEM.

Zgodnie z informacją otrzymaną od Klienta pomiary zostały wykonane przy ustawieniach pochylenia anten zgodnych z pkt. 13, ppkt 2 załącznika do rozporządzenia Ministra Klimatu z dnia 17 lutego 2020 roku.

Tabela 1. Anteny sektorowe - dane otrzymane od klienta

Typ anteny	Współrzędne geograficzne	Azymut mechaniczny [°]	Azymut elektryczny [°]	Wysokość zawieszenia anten (środek anteny) n.p.t. [m]	Pasmo częstotliwości [MHz]	Zakres pochylenia elektrycznego [°]	Średnie pochylenie anten (ustawione do pomiarów PEM) [°]	Zakres pochylenia mechanicznego [°]	Moc EIRP [W]	Suma EIRP [W]
APE4517ROV06	22°36'02.60"E 51°16'18.73"N	80	80	33,00	1800	0,0 - 7,0	3,5	0,0	2681	16164
					2600	0,0 - 7,0	3,5		9241	
					900	0,0 - 7,0	3,5		4242	
APE4517ROV06	22°36'02.60"E 51°16'18.73"N	200	200	33,00	1800	0,0 - 6,0	3,0	0,0	2681	16377
					2600	0,0 - 6,0	3,0		9241	
					900	0,0 - 6,0	3,0		4455	
APE4517ROV06	22°36'02.60"E 51°16'18.73"N	320	320	33,00	1800	0,0 - 6,0	3,0	0,0	2681	16377
					2600	0,0 - 6,0	3,0		9241	
					900	0,0 - 6,0	3,0		4455	

Tabela 2. Anteny radioliniowe- dane otrzymane od klienta

Typ anteny	Współrzędne geograficzne	Azymut [°]	Średnica [m]	Pasmo częstotliwości [GHz]	Zysk energetyczny [dBi]	Moc wyjściowa nadajnika [dBm]	EIRP [W]	Wysokość środka elektrycznego anten n.p.t. [m]
HAE1-80	22°36'02.60"E 51°16'18.73"N	276	0,3	80	47,8	18	3801,89	33,0

6. Wyniki pomiarów.

Wyniki pomiarów pól elektromagnetycznych dla celów ochrony środowiska przedstawia poniższa tabela. Piony pomiarowe zostały przedstawione w zał. 2.

Nr PP	Pole-E [V/m]	Pole-E *kE, +U [V/m]	Pole-H [A/m]	Pole-H *kE +U [A/m]	Wys. pomiaru [m]	Opis pionu	Uwagi	WM _E	WM _H
1	1,4	4,47	0,004	0,012	0,3-2,0	N:51°16'18.9" E:22°36'04.9"	otoczenie stacji bazowej - 50m wzdłuż gł. osi promieniowania - GKP	0,160	0,162

2	1,4	4,47	0,004	0,012	0,3-2,0	N:51°16'19.3" E:22°36'06.9"	otoczenie stacji bazowej - 100m wzdłuż gł. osi promieniowania - GKP	0,160	0,162
3	1,3	4,15	0,003	0,011	0,3-2,0	N:51°16'19.5" E:22°36'09.9"	otoczenie stacji bazowej - 150m wzdłuż gł. osi promieniowania - GKP	0,148	0,151
4	1,1	3,51	0,003	0,009	0,3-2,0	N:51°16'19.7" E:22°36'12.6"	otoczenie stacji bazowej - 200m wzdłuż gł. osi promieniowania - GKP	0,125	0,128
5	1,0	3,19	0,003	0,008	0,3-2,0	N:51°16'19.8" E:22°36'14.7"	otoczenie stacji bazowej - 250m wzdłuż gł. osi promieniowania - GKP	0,114	0,116
6	1,2	3,83	0,003	0,010	0,3-2,0	N:51°16'17.1" E:22°36'01.1"	otoczenie stacji bazowej - 50m wzdłuż gł. osi promieniowania - GKP	0,137	0,139
7	1,0	3,19	0,003	0,008	0,3-2,0	N:51°16'15.6" E:22°36'00.3"	otoczenie stacji bazowej - 100m wzdłuż gł. osi promieniowania - GKP	0,114	0,116
8	0,8	2,55	0,002	0,007	0,3-2,0	N:51°16'14.2" E:22°35'59.5"	otoczenie stacji bazowej - 150m wzdłuż gł. osi promieniowania - GKP	0,091	0,093
9	1,2	3,83	0,003	0,010	0,3-2,0	N:51°16'12.6" E:22°35'58.3"	otoczenie stacji bazowej - 200m wzdłuż gł. osi promieniowania - GKP	0,137	0,139
10	1,3	4,15	0,003	0,011	0,3-2,0	N:51°16'11.3" E:22°35'57.5"	otoczenie stacji bazowej - 250m wzdłuż gł. osi promieniowania - GKP	0,148	0,151
11	1,0	3,19	0,003	0,008	0,3-2,0	N:51°16'09.7" E:22°35'56.6"	otoczenie stacji bazowej - 300m wzdłuż gł. osi promieniowania - GKP	0,114	0,116
12	1,0	3,19	0,003	0,008	0,3-2,0	N:51°16'08.6" E:22°35'56.0"	otoczenie stacji bazowej - 330m wzdłuż gł. osi promieniowania - GKP	0,114	0,116
13	1,5	4,79	0,004	0,013	0,3-2,0	N:51°16'20.4" E:22°36'00.6"	otoczenie stacji bazowej - 50m wzdłuż gł. osi promieniowania - GKP	0,171	0,174
14	1,6	5,11	0,004	0,014	0,3-2,0	N:51°16'21.5" E:22°35'59.3"	otoczenie stacji bazowej - 100m wzdłuż gł. osi promieniowania - GKP	0,182	0,186
15	1,5	4,79	0,004	0,013	0,3-2,0	N:51°16'22.8" E:22°35'57.7"	otoczenie stacji bazowej - 150m wzdłuż gł. osi promieniowania - GKP	0,171	0,174
16	1,3	4,15	0,003	0,011	0,3-2,0	N:51°16'24.1" E:22°35'56.3"	otoczenie stacji bazowej - 200m wzdłuż gł. osi promieniowania - GKP	0,148	0,151
17	1,3	4,15	0,003	0,011	0,3-2,0	N:51°16'25.7" E:22°35'54.5"	otoczenie stacji bazowej - 250m wzdłuż gł. osi promieniowania - GKP	0,148	0,151
18	1,1	3,51	0,003	0,009	0,3-2,0	N:51°16'26.8" E:22°35'53.3"	otoczenie stacji bazowej - 300m wzdłuż gł. osi promieniowania - GKP	0,125	0,128
19	1,0	3,19	0,003	0,008	0,3-2,0	N:51°16'27.6" E:22°35'52.4"	otoczenie stacji bazowej - 330m wzdłuż gł. osi promieniowania - GKP	0,114	0,116
20	0,9	2,87	0,002	0,008	0,3-2,0	N:51°16'19.2" E:22°35'57.7"	otoczenie stacji bazowej - 100m wzdłuż gł. osi promieniowania - GKP	0,103	0,104
21	1,3	4,15	0,003	0,011	0,3-2,0	N:51°16'22.7" E:22°36'00.4"	otoczenie stacji bazowej - GKP	0,148	0,151
22	1,3	4,15	0,003	0,011	0,3-2,0	N:51°16'20.5" E:22°36'03.1"	otoczenie stacji bazowej - GKP	0,148	0,151
23	1,1	3,51	0,003	0,009	0,3-2,0	N:51°16'20.3" E:22°36'07.7"	otoczenie stacji bazowej - GKP	0,125	0,128
24	1,1	3,51	0,003	0,009	0,3-2,0	N:51°16'15.8" E:22°36'06.5"	otoczenie stacji bazowej - GKP	0,125	0,128
25	1,2	3,83	0,003	0,010	0,3-2,0	N:51°16'15.5" E:22°36'02.5"	otoczenie stacji bazowej - GKP	0,137	0,139
26	1,0	3,19	0,003	0,008	0,3-2,0	N:51°16'17.1" E:22°35'57.4"	otoczenie stacji bazowej - GKP	0,114	0,116
27	1,3	4,15	0,003	0,011	0,3-2,0	N:51°16'20.5" E:22°35'58.2"	otoczenie stacji bazowej - GKP	0,148	0,151
A	2,0	6,38	0,005	0,017	0,3-2,0	N:51°16'17.8" E:22°36'02.1"	Paprociowa 9, pomiar przed bramą - DPP	0,228	0,232
B	2,1	6,70	0,006	0,018	0,3-2,0	N:51°16'18.2" E:22°36'00.9"	Paprociowa 11, pomiar przed bramą -DPP	0,239	0,244
C	1,8	5,75	0,005	0,015	0,3-2,0	N:51°16'18.7" E:22°35'59.8"	Budynek bez adresu, pomiar przed bramą -DPP	0,205	0,209
D	1,5	4,79	0,004	0,013	0,3-2,0	N:51°16'18.8" E:22°35'58.4"	Paprociowa 12, pomiar przed bramą -DPP	0,171	0,174
E	1,8	5,75	0,005	0,015	0,3-2,0	N:51°16'17.9" E:22°35'59.9"	Paprociowa 10, pomiar przed bramą -DPP	0,205	0,209
F	1,3	4,15	0,003	0,011	0,3-2,0	N:51°16'17.1" E:22°36'05.1"	Budynek bez adresu, pomiar przed bramą -DPP	0,148	0,151
G	0,8	2,55	0,002	0,007	0,3-2,0	N:51°16'16.8" E:22°36'01.7"	Lubczykowa 4, pomiar przed bramą - DPP	0,091	0,093

„Bez pisemnej zgody Laboratorium niniejsze sprawozdanie nie może być powielane inaczej, jak tylko w całości. Ponadto wyniki dotyczą tylko badanych obiektów przywołanych w niniejszym sprawozdaniu z badań”
7/12/OŚ/2021- ATE/WA

H	-	Brak dostępu - torowisko	-
---	---	--------------------------	---

wynik pomiaru pole - E [V/m] - maksymalna wartość chwilowa zmierzona w danym pionie pomiarowym (uśredniona na podstawie punktu 11 Załącznika do Rozporządzenia Ministra Zdrowia)

* Wartość zmierzona poniżej zakresu akredytacji. Do obliczeń przyjęto wartość zgodną z progmem czułości zestawu pomiarowego.

GKP - główne kierunki pomiarowe

PKP - pomocnicze kierunki pomiarowe

DPP- dodatkowe punkty pomiarowe

PP – pion pomiarowy

U - niepewność pomiarowa rozszerzona, przy poziomie ufności 95%, z uwzględnieniem współczynnika rozszerzenia $k=2$

k_E – poprawka pomiarowa badanej instalacji radiokomunikacyjnej podana przez operatora ($k_E=1,7$), poprawka pomiarowa w przypadku oddziaływania innych instalacji radiokomunikacyjnych na badany obszar ($k_E=2,0$)

W_{ME} - wartość wskaźnikowa poziomu emisji pól elektromagnetycznych dla miejsc dostępnych dla ludności dla składowej elektrycznej pola

W_{MH} - wartość wskaźnikowa poziomu emisji pól elektromagnetycznych dla miejsc dostępnych dla ludności dla składowej magnetycznej pola

Przyjęto najniższą dopuszczalną wartość składowej elektrycznej pola dla objętego pomiarami zakresu częstotliwości $\min(ME_{gr})= 28 \text{ V/m}$ oraz składowej magnetycznej $\min(MH_{gr})= 0,073 \text{ A/m}$.

7. Stwierdzenie zgodności

Na podstawie wytycznych podanych w Rozporządzeniu Ministra Zdrowia z dnia 17 grudnia 2019 r. w sprawie dopuszczalnych poziomów pól elektromagnetycznych w środowisku (Dz.U. 2019 poz. 2448) oraz sposobów sprawdzania dotrzymania tych poziomów zgodnie z Rozporządzeniem Ministra Klimatu z dnia 17 lutego 2020 r. w sprawie sposobów sprawdzania dotrzymania dopuszczalnych poziomów pól elektromagnetycznych w środowisku (Dz.U. 2020 poz. 258) dotyczących źródła wymagań, które muszą być spełnione (załącznik do rozporządzenia Ministra Klimatu z dnia 17 lutego 2020 r. (poz. 258)), w oparciu o zasadę podejmowania decyzji zgodną z pkt 26 załącznika do rozporządzenia Ministra Klimatu z dnia 17 lutego 2020 r. (poz. 258), na podstawie wyników pomiarów pól elektromagnetycznych wykonanych w dniu 03.01.2022 stwierdzono, iż w miejscach dostępnych dla ludności, dopuszczalne poziomy pól elektromagnetycznych w środowisku, określone w przepisach wydanych na podstawie art. 122 ust. 1 ustawy z dnia 27 kwietnia 2001 r. – Prawo ochrony środowiska, uznaje się za dotrzymane w obszarze pomiarowym, w którym w wyniku zastosowania sposobu sprawdzenia dotrzymania dopuszczalnych poziomów pól elektromagnetycznych w środowisku, udokumentowano, że żadna z wartości wskaźnikowych nie przekracza wartości 1.

8. Oświadczenie.

Wyniki badania odnoszą się wyłącznie do badanego obiektu.

Bez pisemnej zgody sprawozdanie nie może być powielane inaczej, jak tylko w całości.

Uwagi i zastrzeżenia przyjmowane są w formie pisemnej w ciągu 14 dni od daty otrzymania sprawozdania.

9. Spis załączników.

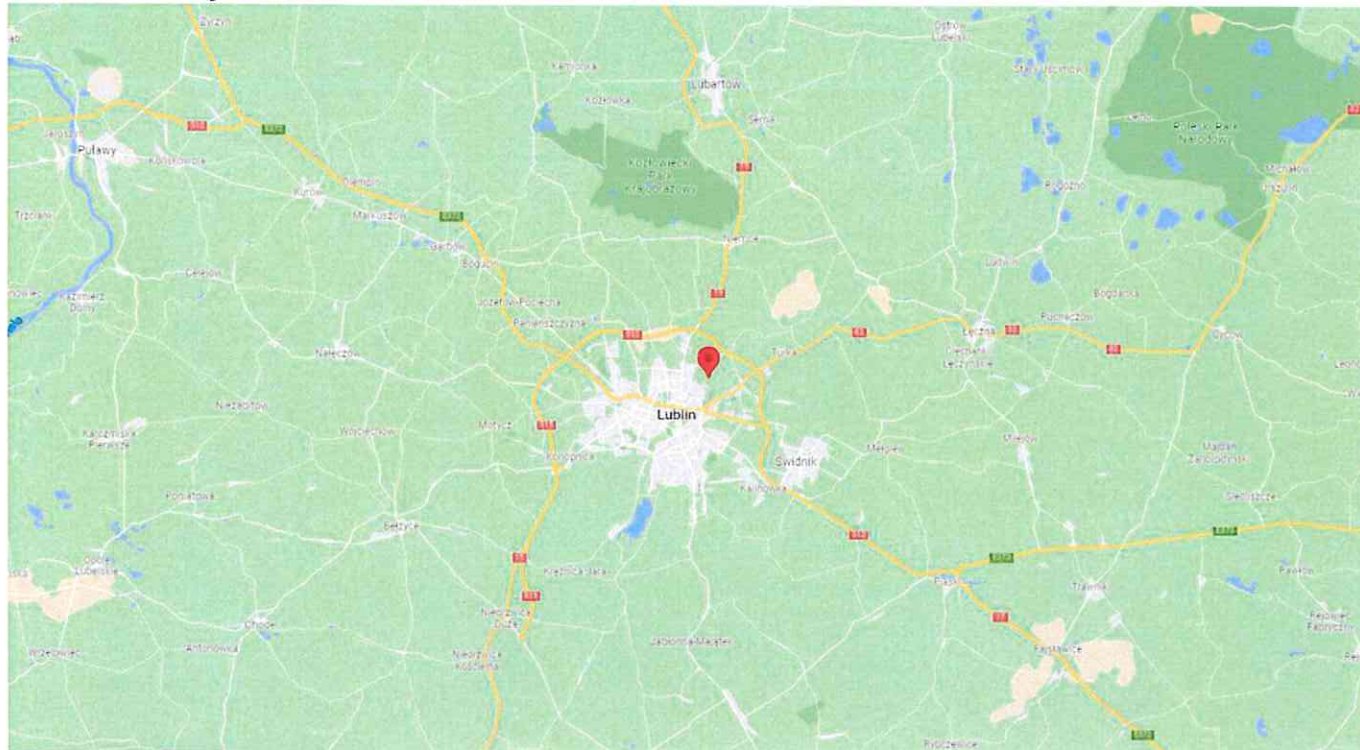
Załącznik 1. Lokalizacja obiektu.

Załącznik 2. Widok pionów pomiarowych

Załącznik 3. Załączniki graficzne

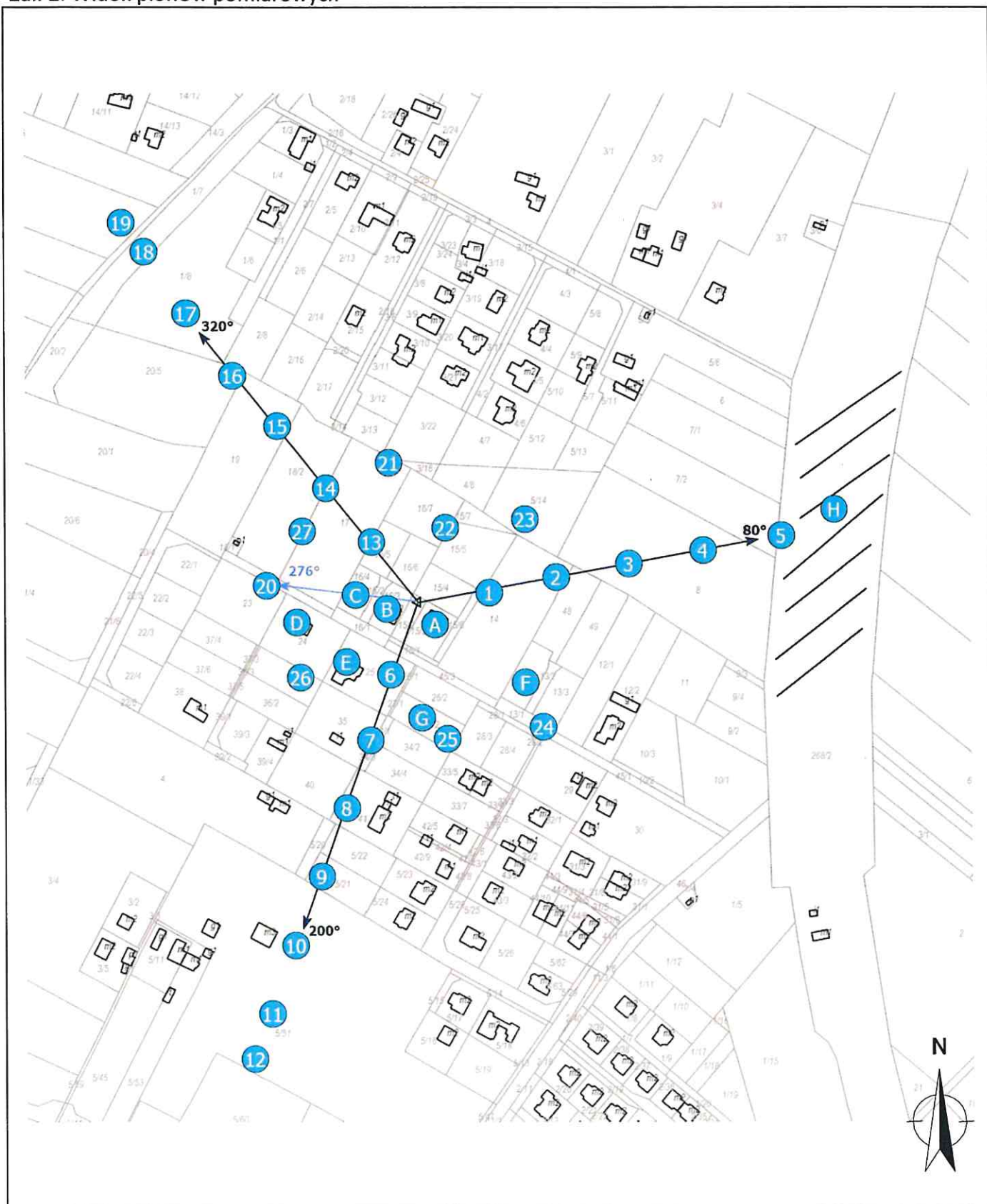
Koniec sprawozdania

Zał. 1. Lokalizacja obiektu



Współrzędne geograficzne	
długość:	22°36'02.60"E
szerokość:	51°16'18.73"N

Załącznik 2. Widok pionów pomiarowych




LEGENDA:

 inna instalacja radiokomunikacyjna

Odległość, do której zostały wykonane pomiary mierząc od instalacji antenowej wynosi min.: 330 metrów.

 brak dostępu

 pion pomiarowy z poprawką pomiarową (brak innych instalacji radiokomunikacyjnych)

 pion pomiarowy z poprawką pomiarową (w zasięgu innych instalacji radiokomunikacyjnych)

 antena sektorowa

 antena radioliniowa

Skala: 1:5000



Załącznik 3. Załączniki graficzne.

